



УДК 621.791.72:621.791.052:620.17

КАРБИДНЫЕ ФАЗЫ И ПОВРЕЖДАЕМОСТЬ СВАРНЫХ СОЕДИНЕНИЙ ПАРОПРОВОДОВ В УСЛОВИЯХ ПОЛЗУЧЕСТИ

В. В. ДМИТРИК, канд. техн. наук (Укр. инж.-педагог. акад., г. Харьков),
А. К. ЦАРЮК, канд. техн. наук (Ин-т электросварки им. Е. О. Патона НАН Украины),
А. И. КОНЫК, инж. (ОАО ЗЭМИ, г. Харьков)

Рассмотрены закономерности старения сварных соединений паропроводов из теплоустойчивой стали 12Х1МФ, работающих в условиях ползучести. Отмечена связь повреждаемости сварных соединений с кинетикой карбидных превращений и даны рекомендации по оптимизации исходной структуры основного металла.

Ключевые слова: теплоустойчивые стали, сварные соединения, поры, ресурс, карбиды, структура, ползучесть, паропроводы

Повреждаемость сварных соединений паропроводов из теплоустойчивых перлитных сталей в условиях ползучести при их наработке свыше 250000 ч обусловлена особенностями превращения структур металла сварных соединений [1–3]. Эти превращения характеризуются различным уровнем деформации зерен α -фазы, количеством и степенью коагуляции карбидных фаз 1-й группы (преимущественно $M_{23}C_6$), а также количеством карбидных выделений 2-й группы. Структурные превращения обеспечиваются карбидными реакциями $M_3C \rightarrow M_7C_3 \rightarrow M_{23}C_6 \rightarrow M_6C$, изучение роли которых в механизме повреждаемости представляется актуальным. С наибольшей интенсивностью структурные превращения протекают на участке неполной перекристаллизации зоны термического влияния (ЗТВ), что и обуславливает его большую повреждаемость при длительной эксплуатации, чем других участков ЗТВ, а также металла шва и основного металла.

Изучение закономерностей процесса старения, а также положений, определяющих его кинетику, необходимо для уточнения механизма повреждаемости данных сварных соединений, работающих в условиях ползучести.

Исследования проводили на образцах размером 159×18 мм, вырезанных из сварных соединений стали 12Х1МФ паропроводов горячего промперегрева Змievской ТЭС, которые изготавливали по штатной технологии с использованием ручной дуговой сварки, а также на соответствующих образцах-свидетелях. После сварки указанные соединения были подвергнуты высокому отпуску при температуре 750 °C, 3 ч.

Паропровод эксплуатировался до 2002 г. при температуре 545 °C и давлении 24 МПа, а после 2002 г. — при температуре 510 °C и таком же давлении. Общая продолжительность наработки составила 275637 ч. В таком состоянии материал паропровода имел следующие механические свойства: $\sigma_b = 775$ МПа; $\sigma_t = 270$ МПа; $\delta = 19,5\%$; $\psi = 77\%$; $KCV = 18$ Дж/см².

Для выявления карбидов M_3C , M_7C_3 , $M_{23}C_6$, M_6C , а также пор применяли соответствующее химическое микротравление [4, 5]. Так, для выявления карбида M_3C использовали травитель следующего состава: 1 г KOH; 4 г KMnO₄; 100 мл H₂O. Продолжительность травления в кипящем растворе составляла 5...10 мин. Добавление в приведенный травитель винной кислоты позволило выявлять только карбиды M_7C_3 , $M_{23}C_6$ и M_6C .

Карбидные фазы изучали путем количественного микроструктурного анализа с использованием порошкового дифрактометра «Siemens-D500» в монохроматизированном излучении. Дифрактограммы снимали в области углов $10 \leq 2\theta \leq 140^\circ$ с шагом сканирования 0,02° и временем накопления импульса 75 с в каждой точке. Для выявления пор и идентификации карбидных фаз применяли сканирующий микроскоп JSM-820 с системой рентгеновского микроанализатора «Link» AN10185S и разрешающей способностью в режиме вторичных электронов 10 нм, а также локальностью микроанализа около 2 мкм. Для структурного анализа использовали световую и электронную микроскопию, а для определения механических свойств — штатное оборудование.

В исходной (после сварки) структуре металла сварных соединений наблюдаются характерные неравномерно распределенные по телу и границам зерна α -фазы, дисперсные карбиды цементитного типа (рис. 1), имеющие по хрому состав твердого раствора замещения. Размеры цементитных вы-

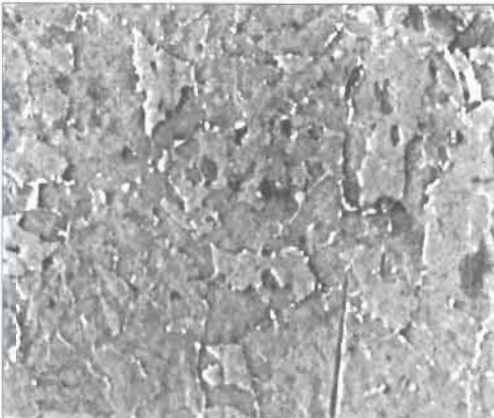


Рис. 1. Микроструктура ($\times 2500$) металла шва с характерными цементитными выделениями

делений составляют 20...500 нм. Расчет электронограмм показал, что они имеют орторомбическую решетку, параметры которой составляют $a = 0,452$ нм, $b = 0,512$ нм, $c = 0,680$ нм (с точностью $\pm 0,005$ нм). Эти данные близки к представленным в работе [6]. Форма таких карбидов приближается к сферической или эллиптической. Содержание и равномерность распределения карбидов на участках структур ЗТВ, а также в области металла шва и основном металле сварных соединений заметно отличается, что связано с интенсивностью структурных превращений.

В структуре сварных соединений стали 12Х1МФ в условиях ползучести после наработки 275673 ч (рис. 2) в различных соотношениях при-

сутствуют метастабильные карбиды 1-й группы M_3C , M_7C_3 , $M_{23}C_6$ и M_6C , а также стабильные MC и M_2C 2-й группы. Целесообразно рассмотрение общих закономерностей формирования карбидных превращений, характерных для структур изучаемых сварных соединений.

Интенсивность превращений карбидов 1-й группы, расположенных по телу зерен α -фазы, является значительно меньшей, чем по границам зерен, что подтверждается их количеством. Например, после наработки в течение 275637 ч выявленное количество карбидов M_3C , расположенных по телу зерен, составило около 20...30 %, а по их границам примерно 5...7 % общего количества карбидов 1-й группы.

Кристалл легированного хромом цементита состоит из определенного количества октаэдров, имеющих взаимно ориентированные, расположенные под углами оси [6, 7]. В структуре изучаемых сварных соединений хромистый цементит $(Fe, Cr)_3C$ образуется при локальном содержании хрома 2,0...2,3 мас. %. Молибден в M_3C растворяется до 1 %. В ячейке M_3C хром может замещать до 25 % атомов железа, что является пределом их насыщения.

Термодинамическая активность хрома в карбидах и по границам зерен α -фазы меньше, чем в самих зернах, что в условиях ползучести способствует его направленной диффузии. Диффузионные процессы (при длительной наработке) обеспечивают увеличение степени сегрегации

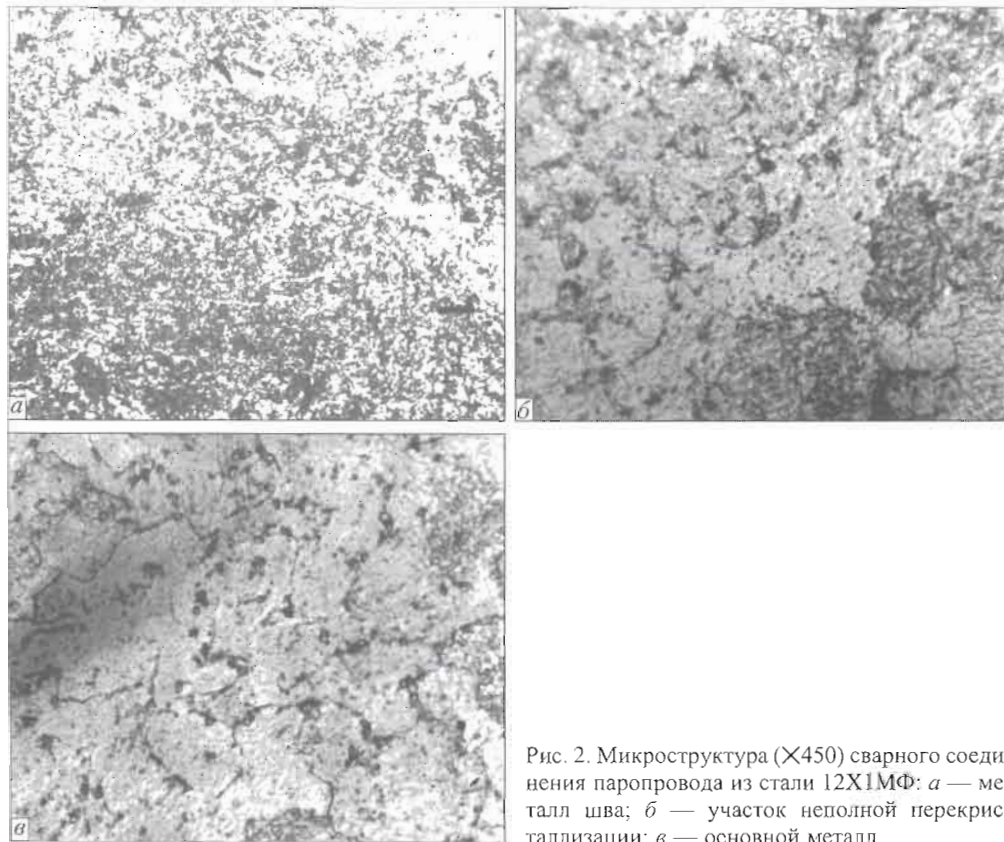


Рис. 2. Микроструктура ($\times 450$) сварного соединения паропровода из стали 12Х1МФ: *а* — металл шва; *б* — участок неполной перекристаллизации; *в* — основной металл

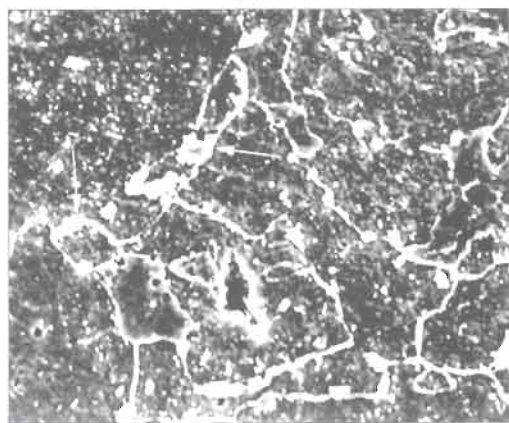


Рис. 3. Микроструктура ($\times 1500$) с выделениями карбидов $M_{23}C_6$ (показаны стрелками) металла участка неполной перекристаллизации ЗТВ сварных соединений паропроводов из стали 12Х1МФ

хрома по границам зерен α -фазы и в зонах зерен, примыкающих к их границам. Скорость диффузии в зернах α -фазы зависит от их размеров, формы и строения. Насыщение карбидов цементитного типа в условиях ползучести атомами хрома происходит не только вследствие их объемной диффузии из зерен α -фазы на межфазную границу, но и в большей степени от диффузии вдоль границ (границной диффузии), а также перемещения дислокаций. В зернах α -фазы образуются зоны типа Гинье–Престона, примыкающие к их границам, где концентрация хрома может превышать их среднюю концентрацию в 2...12 раз. Карбиды цементитного типа, расположенные по границам зерен α -фазы (см. рис. 2), можно рассматривать при наличии гетерогенных флуктуаций (по Френкелю) как докритические зародыши [6]. Когда локальная концентрация хрома становится критической, гетерогенные флуктуации вызывают соответствующие фазовые переходы при условии, что рост докритического зародыши характеризуется сначала повышением энергетического уровня ячейки, а затем ее снижением.

При образовании локальной концентрации хрома в зонах Гинье–Престона примерно от 3,5 до 5,5 % происходит предельное насыщение цементита хромом до 5 %, что и обеспечивает его превращение в тригональный карбид $(Cr, Fe)_7C_3$. Можно показать, что такие превращения наиболее характерны для периода наработки сварных соединений от 80000 до 150000 ч, в течение которого отмечается наибольшее количество данных карбидов.

Заметное влияние на карбидные превращения имеет как уровень сегрегации, так и подвижность атомов. Л. И. Миркин показал [8], что для образования тригонального карбида $(Cr, Fe)_7C_3$ размечом в 20 металлических атомов, количество флуктуаций в 1 см^3 стали, содержащей 2 мас. % хрома, составляет лишь несколько десятков. В металле участка неполной перекристаллизации ЗТВ при увеличенном уровне сегрегации по сравнению с другими участками структур, количество флуктуаций также высокое. Количество карбидных фаз M_7C_3 при наработке 100000...150000 ч здесь примерно на 30 % больше, чем на других участках, что обеспечивается более высокой скоростью реакции $M_3C \rightarrow M_7C_3$.

При установлении локальной концентрации хрома в зернах и на границах зерен выше 5,5 % происходит предельное насыщение хромом тригонального карбида M_7C_3 , что приводит к его превращению в кубический карбид $M_{23}C_6$ (рис. 3). При наработке 275673 ч установлено, что элементарная ячейка $M_{23}C_6$ состоит из полых кубов и тетраэдров, в центре которых находятся металлические атомы. Тетраэдрические ребра между кубами существенно

превышают длину ребер куба. Размер ячейки следующий: $a = 1,0572$ нм, что отличается от данных работ [4, 5, 9], где $a = 1,0595$ нм. Отличие в параметрах ячейки обусловлено замещением атомов хрома атомами молибдена и марганца, которые имеют больший атомарный радиус: у хрома — 0,127 нм, у молибдена — 0,139 нм, у марганца — 0,130 нм [10]. Замещение происходит в условиях дополнительной достройки решетки карбидов $M_{23}C_6$, в том числе при их коалесценции. Выделения M_7C_3 в структурах сварного соединения заметно отличаются по химическому составу (рис. 4), например, на участке неполной перекристаллизации по хрому на 15, по молибдену на 25, по марганцу на 30 %. Такое отличие обеспечивается наличием различных уровней сегрегаций указанных элементов, что обусловлено диффузионными процессами, зависящими от условий эксплуатации и длительности наработки.

Подтверждена закономерность [11], что зародышеобразование $M_{23}C_6$ происходит, как правило, на границах контакта трех зерен α -фазы. Именно здесь наиболее интенсивно увеличивается уровень сегрегации, зависящий от структуры и условий старения. Например, при наработке 200000 ч количество карбидов $M_{23}C_6$ (участок сплавления) составило около 40 % общего их количества, при наработке 275637 ч — 60 %, а при наработке 300000 ч (экспериментальные данные) — примерно 63 %.

Снижение рабочих параметров паропроводов (температуры и давления) после наработки 250000 ч с целью увеличения их ресурса позволило уменьшить в металле сварных соединений скорость диффузионных процессов. Однако снижение заметного влияния на интенсивность дислокационного механизма повреждаемости при установленном уровне структурных превращений и соответствующих условиях эксплуатации не оказалось [12]. При наличии локальной концентрации хрома (свыше 10 мас.%) происходит реакция $M_{23}C_6 \rightarrow M_6C$. Среднее содержание хрома в зонах

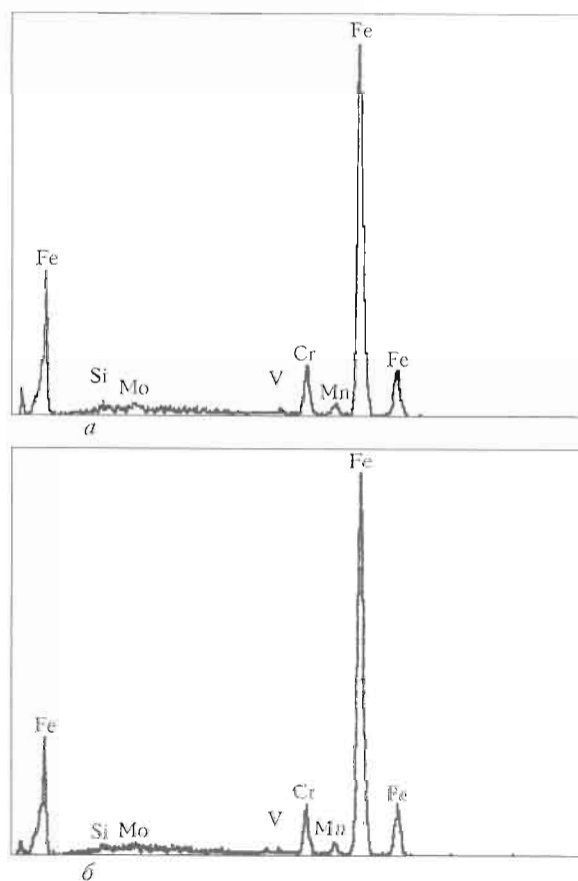


Рис. 4. Спектры карбидных выделений $M_{23}C_6$, расположенных по границам зерен α -фазы: а — участок неполной перекристаллизации; б — участок сплавления

сегрегации при наработке до 150000 ч на участке неполной перекристаллизации возросло примерно с 1,5 (исходная усредненная сегрегация) до 5 мас. %, а при наработке от 150000 до 275673 ч — с 5 до 6 мас. %, что подтверждает снижение скорости диффузионных процессов при увеличении наработки. Локальное повышение концентрации хрома в зонах сегрегации (свыше 10 мас. %) и карбидов M_6C (около 5 мас. %) можно

считать исключением и оно обусловлено увеличенным содержанием хрома в металле трубных заготовок.

Интенсивность зарождения пор в сварных соединениях стали 12Х1МФ в условиях ползучести существенно связана со стабильностью карбидных фаз 1-й группы. Наиболее интенсивно поры зарождаются на участке неполной перекристаллизации ЗТВ. Продолжительность сварочного нагрева в межкритической области температур ($A_{c1} - A_{c2}$) способствует увеличению исходной сегрегации хрома на границах зерен α -фазы (1,5...2,0 %), которая существенно возрастает в процессе наработки сварных соединений и вызывает увеличение скорости реакции $M_3C \rightarrow M_7C_3 \rightarrow M_{23}C_6 \rightarrow M_6C$.

В металле участка неполной перекристаллизации на второй стадии ползучести (наработка 275637 ч) присутствуют карбиды $M_{23}C_6$ (примерно 60 %), а также M_3C , M_7C_3 , M_6C , VC , Mo_2C (остальное). Содержание карбидных выделений $M_{23}C_6$ в металле шва, участков ЗТВ, а также в основном металле существенно отличается. В основном металле, например, содержание $M_{23}C_6$ от общего их количества составило около 4, в металле шва — 45, на участке перегрева — 5 %. Установлено, что плотность пор на участке неполной перекристаллизации больше примерно на 70 %, чем в основном металле, на 30 %, чем в металле шва и на 40 %, чем на участке сплавления ЗТВ. Выявленное количество пор согласуется со статистикой [1]. Принимая поры размером около 0,05...0,10 мкм как зародышевые [1, 13, 14], учили, что их зарождение и развитие происходит в течение всей эксплуатации сварных соединений. В процессе развития пор их форма из эллипсоидной или шаровидной превращается в удлиненную разветвленную с переменным сечением (рис. 5), что позволяет формально считать их мик-

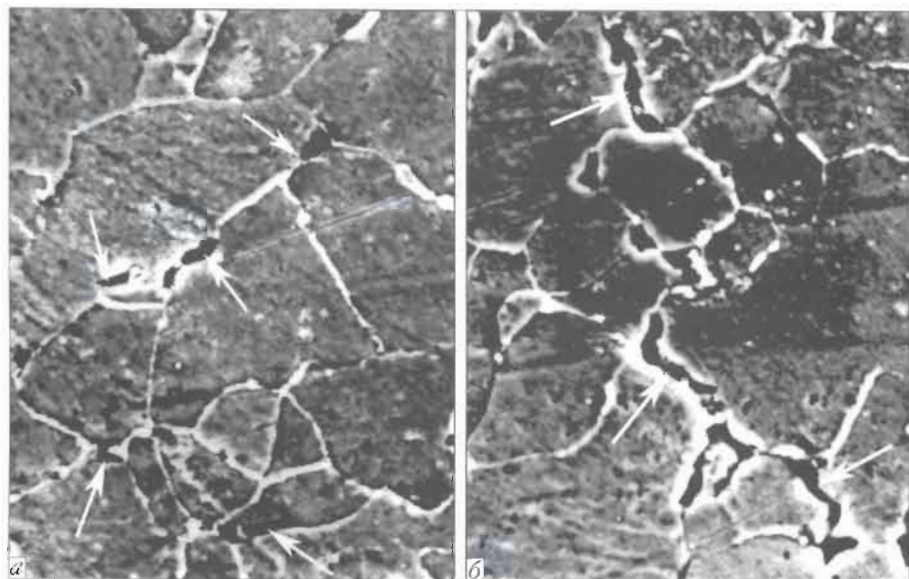


Рис. 5. Поврежденные порами и микротрещинами (показано стрелками) границы зерен α -фазы, $\times 2500$: а — участок неполной перекристаллизации; б — участок сплавления



Рис. 6. Образование пор на участке неполной перекристаллизации возле коагулирующих карбидов $M_{23}C_6$ (показано стрелками), $\times 4500$

ротрещинами. В металле участка неполной перекристаллизации наиболее интенсивно повреждаемость образуется по границам бейнит–перлит (около 280 пор/ mm^2), где перлит является новым продуктом распада аустенита, что близко к данным [13], а наименее интенсивно (около 140 пор/ mm^2) — по границам бейнит–бейнит (новый продукт распада аустенита). По границам зерен в процессе развития пор происходит их коалесценция, они формируются в виде сетки, цепочки пор, а также из пор образуются микротрещины (см. рис. 5).

Установлено, что большинство пор и микротрещин зарождается на поверхности контакта коагулирующих выделений $M_{23}C_6$ (рис. 6) с границами зерен α -фазы, перпендикулярными приложенным нагрузкам (или близкими к перпендикулярным) (см. рис. 5). Порообразование в значительной мере зависит от формы и размеров карбидных выделений, а также их когерентности с зернами α -фазы, что требует дальнейшего уточнения.

В изучаемых сварных соединениях отмечается наличие усталостных микротрещин, зародившихся по границам зерен, в том числе возле коагулирующих карбидов $M_{23}C_6$, и развивающихся перпендикулярно рабочим нагрузкам (см. рис. 5). Такие трещины вызывают поперечное разрушение удлиненных карбидов $M_{23}C_6$.

Regularities of ageing of welded joints of steam pipelines from heat-resistant 12Kh1MF steel operating under creep conditions, are considered. A relation is established between damageability of welded joints and the carbide transformation kinetics, and recommendations are given on optimization of the initial structure of base metal.

Интенсивность повреждаемости порами металла участка неполной перекристаллизации существенно зависит от новых продуктов распада аустенита, контролирующих скорость карбидных реакций. Установлено также, что повреждаемость сварных соединений можно уменьшить путем получения в структуре участка неполной перекристаллизации новых продуктов распада аустенита в виде бейнита, троостита или сорбита.

- Хромченко Ф. А. Ресурс сварных соединений паропроводов. — М.: Машиностроение, 2002. — 351 с.
- Земзин В. Н., Шрон Р. З. Термическая обработка и свойства сварных соединений. — Л.: Машиностроение, 1978. — 366 с.
- Оценка остаточного ресурса сварных соединений трубопроводов ТЭС / В. В. Дмитрик, А. К. Царюк, А. А. Бугаец, Е. Д. Гринченко // Автомат. сварка. — 2006. — № 2. — С. 7–11.
- Пигрова Г. Д. Влияние длительной эксплуатации на карбидные фазы в Cr–Mo–V сталях // Металловедение и терм. обработка металлов. — 2003. — № 3. — С. 6–9.
- Киффер Р., Бонезовский Ф. Твердые материалы. — М.: Металлургия, 1968. — 383 с.
- Блантер М. Е. Теория термической обработки. — М.: Металлургия, 1984. — 327 с.
- Гуляев А. П. Металловедение. — М.: Металлургия, 1978. — 648 с.
- Миркин Л. И. Физические основы прочности и пластичности. — М.: Изд-во Москов. гос. ун-та, 1968. — 537 с.
- Rodriguez-Carvajal J., Roisnel T. FullProf.98 and WinPLOR: New Windows 95/NT applications for diffraction // Comission for powder diffraction: Intern. Union of Crystallography Newsletter. — 1998. — № 5–8. — Р. 159.
- Таблицы физических величин: Справ. / Под ред. акад. И. К. Киконина. — М.: Атомиздат, 1976. — 1005 с.
- Чистов К. В. Старение металлических сплавов. — Киев: Наук. думка, 1985. — 229 с.
- Дмитрик В. В., Барташ С. Н., Шелепов И. Г. К особенностям повреждаемости сварных соединений паропроводов в условиях ползучести // Энергосбережение. Энергетика. Энергоаудит. — 2007. — № 3. — С. 78–184.
- Березина Т. Г., Бугай Н. В., Трунин И. И. Диагностирование и прогнозирование долговечности металла теплозергетических установок. — Киев: Техніка, 1991. — 118 с.
- Исследование особенностей разрушения при ползучести Cr–Mo–V сталей / И. И. Миши, Л. Е. Ходыкина, Н. Г. Шульгина, Н. В. Ашмарина // Металловедение и терм. обработка металлов. — 1989. — № 7. — С. 33–36.

Поступила в редакцию 16.04.2007